

# Содержание

<b>Содержание</b>	<b>1</b>
<b>1 Колебательные реакции</b>	<b>2</b>
1.1 Задачи . . . . .	2
1.2 Нахождение аналитического решения . . . . .	3
1.3 Построение графиков численно и аналитически . . . . .	5
1.4 Зависимость периода колебательной реакции от концентраций веществ A и B в схеме Лотки-Вольтеры . . . . .	6
1.5 Зависимость периода колебательной реакции от коэффициентов скорости элементарных стадий реакции в схеме Лотки-Вольтеры . . . . .	9
1.6 Анализ Брюсселятора . . . . .	11
1.7 Анализ Орегонатора . . . . .	13
1.8 Двойные колебания в модели для реакции Бриггса-Раушера . . . . .	15

# 1 Колебательные реакции

## 1.1 Задачи

- 1) получите аналитические выражения для стационарных концентраций промежуточных реагентов в схеме Лотки;
- 2) иенользуя программный пакет Kinet численно подтвердите полученные выражения;
- 3) иенользуя программный пакет Kinet определите, как зависит период колебательной реакции от концентраций веществ А и В в схеме Лотки-Вольтеры;
- 4) иенользуя программный пакет Kinet определите, как зависит период колебаний от коэффициентов скорости элементарных стадий реакции в схеме Лотки-Вольтеры;
- 5) предложите соотношения концентраций начальных веществ, при которых система будет генерировать колебания, и при которых колебаний не будет в приближении брюсселятора;
- 6) приведите примеры модели ортогонаатора с колебаниями промежуточных компонентов и без;
- 7) продемонстрируйте двойные колебания в модели для реакции Бригга-Раунера

## 1.2 Нахождение аналитического решения

1. Аналитические решения для схемы

$$\frac{d[A]}{dt} = -k_1[A] + k_2[B] \quad (1)$$

$$\frac{d[B]}{dt} = k_1[A] - (k_2 + k_3)[B] \quad (2)$$

$$\frac{d[C]}{dt} = k_3[B]$$

$$[A + B + C = A_0] \quad (3)$$

2. Уравнение второго порядка для  $A$

- Из (1):

$$\begin{aligned} [B] &= \frac{1}{k_2} \left( \frac{d[A]}{dt} + k_1[A] \right) \\ \frac{d[B]}{dt} &= \frac{1}{k_2} \left( \frac{d^2[A]}{dt^2} + k_1 \frac{d[A]}{dt} \right) \end{aligned} \quad (4)$$

- Подставляем (4) в (2):

$$\begin{aligned} \frac{1}{k_2} \left( \frac{d^2[A]}{dt^2} + k_1 \frac{d[A]}{dt} \right) &= k_1[A] - (k_2 + k_3) \frac{1}{k_2} \left( \frac{d[A]}{dt} + k_1[A] \right) \\ \frac{d^2[A]}{dt^2} + (k_1 + k_2 + k_3) \frac{d[A]}{dt} + k_1 k_3 [A] &= 0 \end{aligned} \quad (5)$$

- Начальные условия для  $[A]$ :

$$\left. \frac{d[A]}{dt} \right|_{t=0} = -k_1 A_0$$

3. Решение уравнения (5) для  $A$ :

$$A = \alpha e^{\lambda_1 t} + \beta e^{\lambda_2 t} \quad (6)$$

$$\lambda^2 + (k_1 + k_2 + k_3)\lambda + k_1 k_3 = 0$$

↓

$$\boxed{\lambda_{1,2} = -\frac{k_1+k_2+k_3}{2} \pm \frac{1}{2}\sqrt{(k_1+k_2+k_3)^2 - 4k_1 k_3}}$$

- Получаем систему уравнений:

$$\begin{cases} A = \alpha e^{\lambda_1 t} + \beta e^{\lambda_2 t} \\ \frac{d[A]}{dt} = \alpha \lambda_1 e^{\lambda_1 t} + \beta \lambda_2 e^{\lambda_2 t} \end{cases} \stackrel{t=0}{\Rightarrow} \begin{cases} \alpha + \beta = A_0 \\ \alpha \lambda_1 + \beta \lambda_2 = -k_1 A_0 \end{cases}$$

- Подставляя найденные  $\alpha$  и  $\beta$  в x (6):

$$A = A_0 \frac{(k_1 + \lambda_1)e^{\lambda_2 t} - (k_1 + \lambda_2)e^{\lambda_1 t}}{\lambda_1 - \lambda_2} \quad (7)$$

4. Решение для  $B$ :

- Подставляем  $A(t)$  и  $\frac{dA(t)}{dt}$  в (1) и получаем связь между коэффициентами у  $e^{\lambda t}$ :

$$\lambda_i A_{\lambda_i} = -k_1 A_{\lambda_i} + k_2 B_{\lambda_i} \Rightarrow B_{\lambda_i} = \frac{k_1 + \lambda_i}{k_2} A_{\lambda_i}$$

- Тогда:

$$B = \alpha \frac{k_1 + \lambda_1}{k_2} e^{\lambda_1 t} + \beta \frac{k_1 + \lambda_2}{k_2} e^{\lambda_2 t}.$$

- Подставляя найденные  $\alpha, \beta$  и упрощая, получаем очень простую форму:

$$B = A_0 \frac{k_1}{\lambda_1 - \lambda_2} (e^{\lambda_1 t} - e^{\lambda_2 t})$$

5. Решение для  $C$ :

$$C = A_0 - A - B$$

- В (3) подставляем (7) и :

$$C = A_0 \frac{\lambda_1 (1 - e^{\lambda_2 t}) - \lambda_2 (1 - e^{\lambda_1 t})}{\lambda_1 - \lambda_2}$$

### 1.3 Построение графиков численно и аналитически

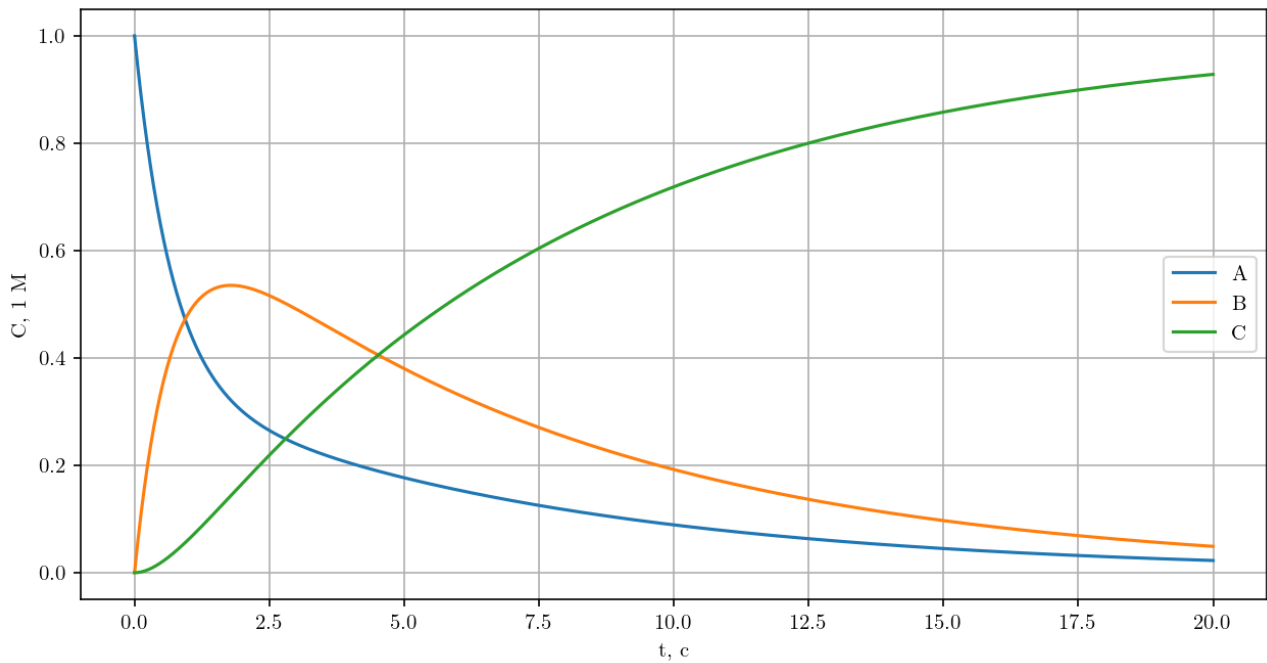


Рис. 1: Численное решение системы уравнений в схеме Лотки

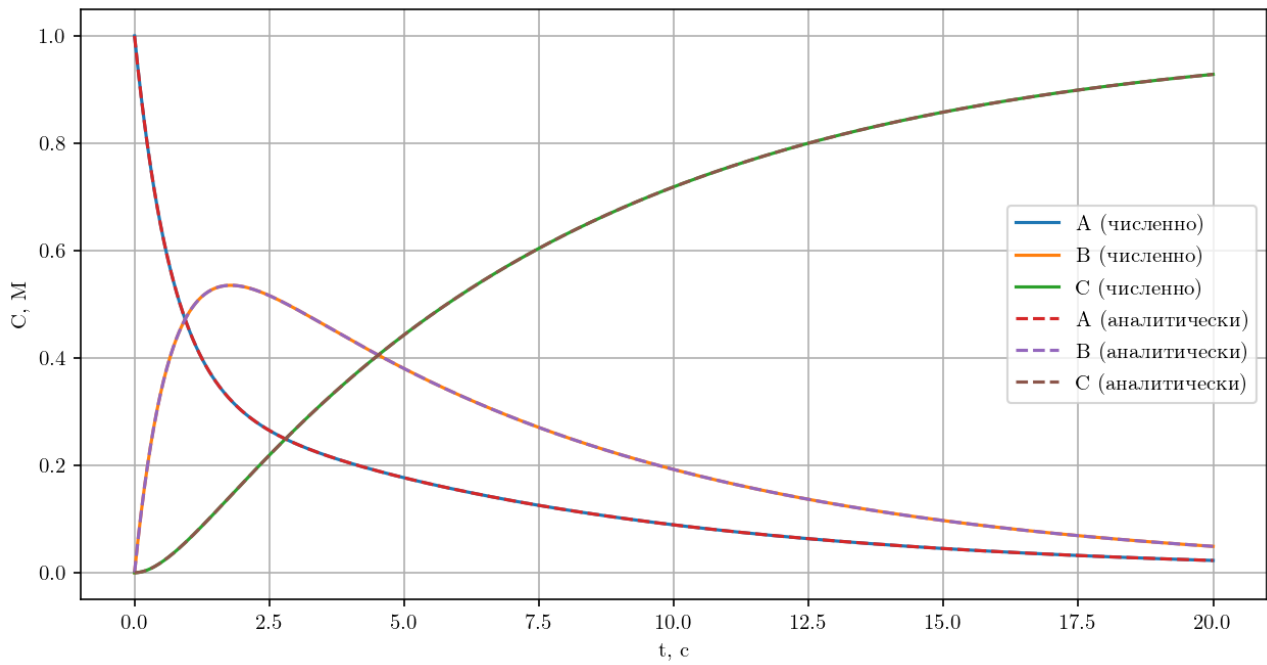


Рис. 2: Сравнение численного и аналитического решений в схеме Лотки

## 1.4 Зависимость периода колебательной реакции от концентраций веществ А и В в схеме Лотки-Вольтеры

$$\frac{dX}{dt} = k_1 AX - k_2 XY \quad (8)$$

$$\frac{dY}{dt} = k_2 XY - k_3 BY. \quad (9)$$

- Стационарная точка:

$$X^* = \frac{k_3 B}{k_2}, \quad Y^* = \frac{k_1 A}{k_2}. \quad (10)$$

$$X = X^* + x, \quad Y = Y^* + y.$$

- Подстановка в уравнение (8):

$$\frac{dx}{dt} = k_1 Ax - k_2(X^*y + Y^*x) \quad (11)$$

- Подстановка в уравнение (9):

$$\frac{dy}{dt} = k_2(Y^*x + X^*y) - k_3 By \quad (12)$$

- Используем равенства стационарности из (10)

$$k_1 A - k_2 Y^* = 0, \quad k_2 X^* - k_3 B = 0. \quad (13)$$

- Подстановка (13) в (11)-(12):

$$\begin{aligned} \frac{dx}{dt} &= -k_3 B y \\ \frac{dy}{dt} &= k_1 A x \end{aligned} \quad (14)$$

- Дифференцируем первое уравнение из (14):

$$\frac{d^2x}{dt^2} = -k_3 B \frac{dy}{dt}$$

- Подставляем второе уравнение из (14):

$$\frac{d^2x}{dt^2} = -k_3B(k_1Ax)$$

- Осциллятор

$$\boxed{\frac{d^2x}{dt^2} + k_1k_3AB x = 0} \quad (15)$$

- Частота и период

$$\boxed{\omega = \sqrt{k_1k_3AB}} ; \quad \boxed{T = \frac{2\pi}{\sqrt{k_1k_3AB}}}$$

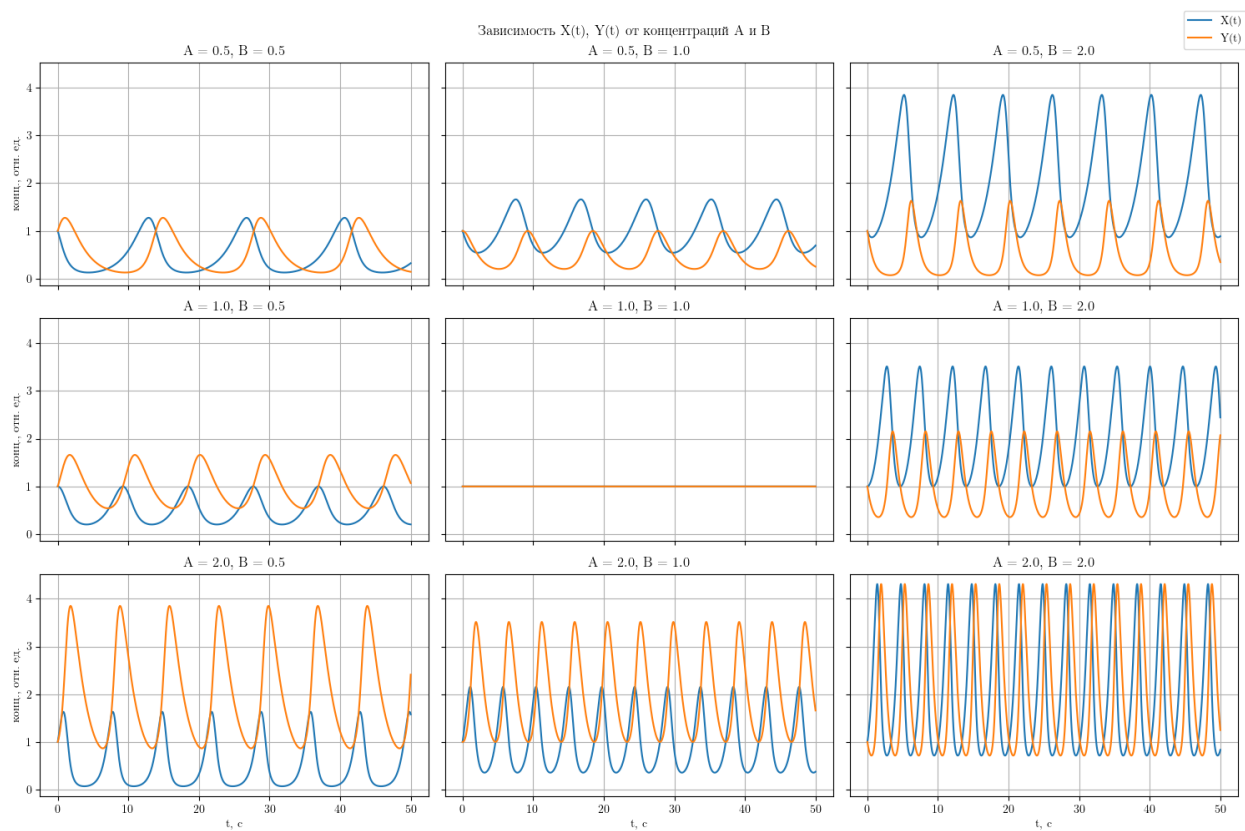


Рис. 3: Сетка концентраций  $X(t)$  и  $Y(t)$  в зависимости от различных начальных концентраций  $A$  и  $B$

- Поскольку видно, что сетка с графиками получилась диагонально симметричной, далее представлена зависимость периода реакции от произведения концентраций  $A$  и  $B$ :

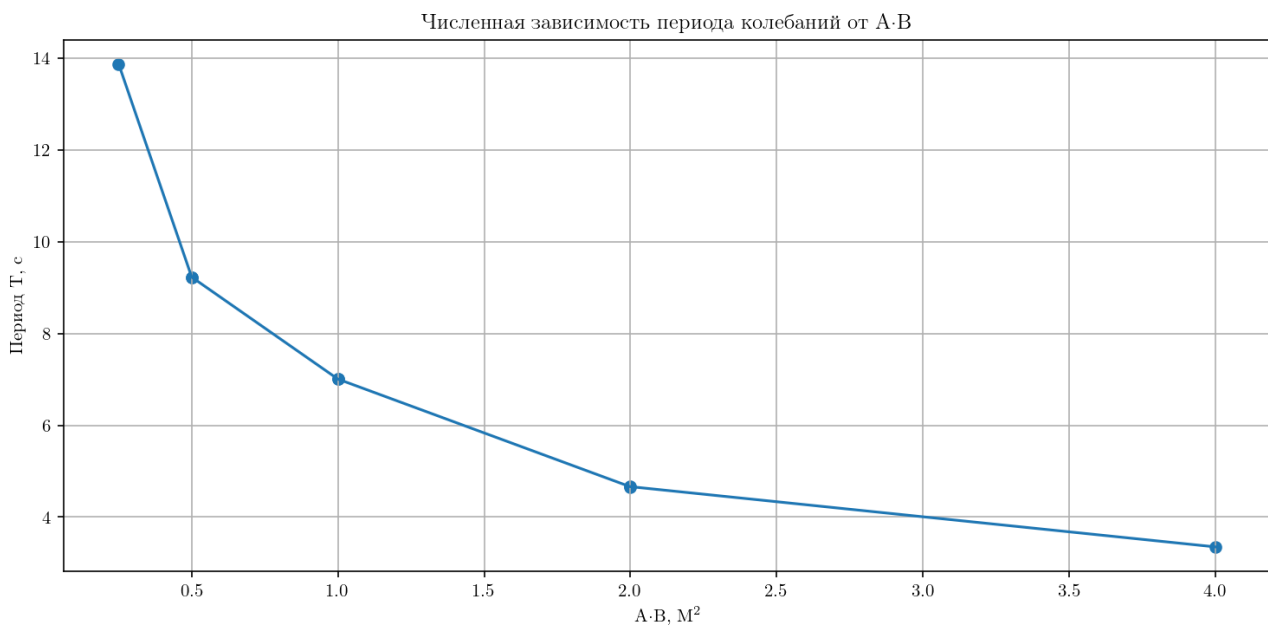


Рис. 4: Зависимость периода реакции от произведения  $A \cdot B$

## 1.5 Зависимость периода колебательной реакции от коэффициентов скорости элементарных стадий реакции в схеме Лотки-Вольтеры

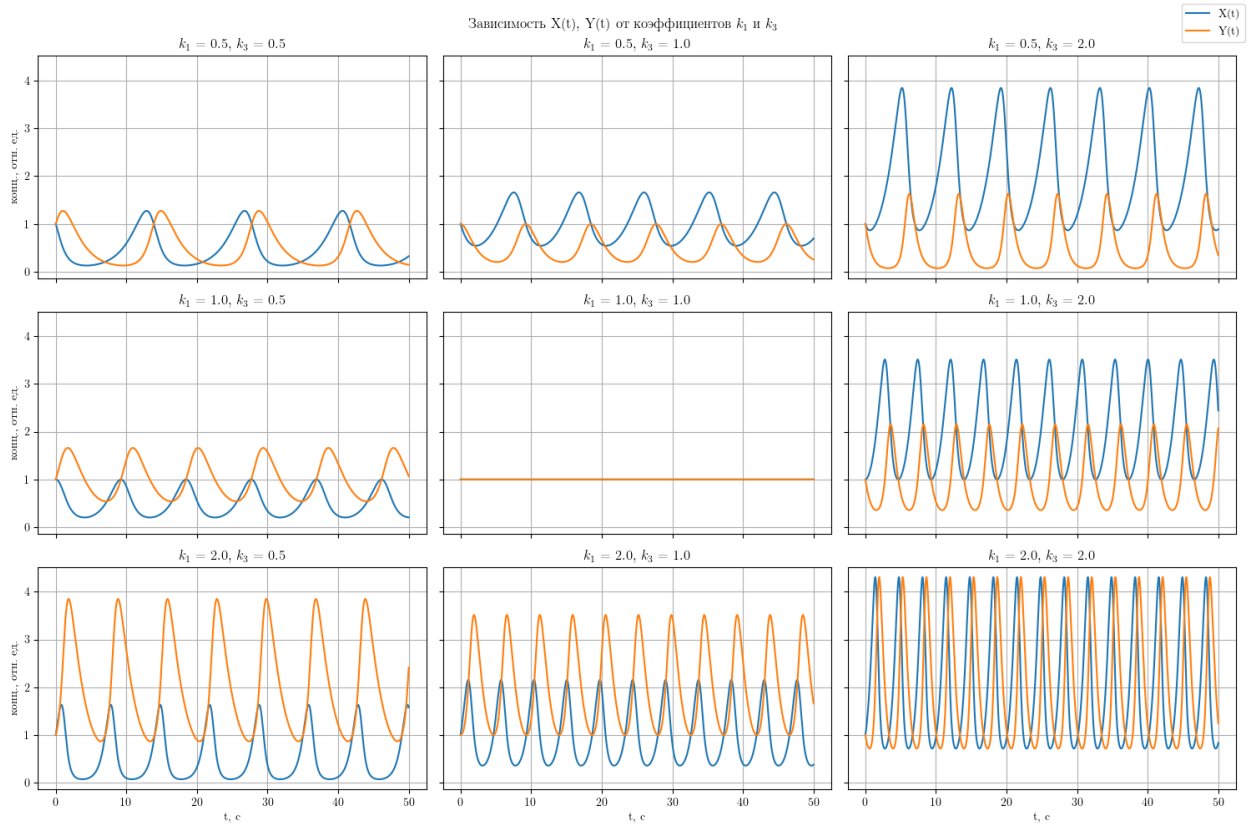


Рис. 5: Сетка концентраций  $X(t)$  и  $Y(t)$  в зависимости от различных  $k_1$  и  $k_3$

- Аналогично подразделу 1.4:

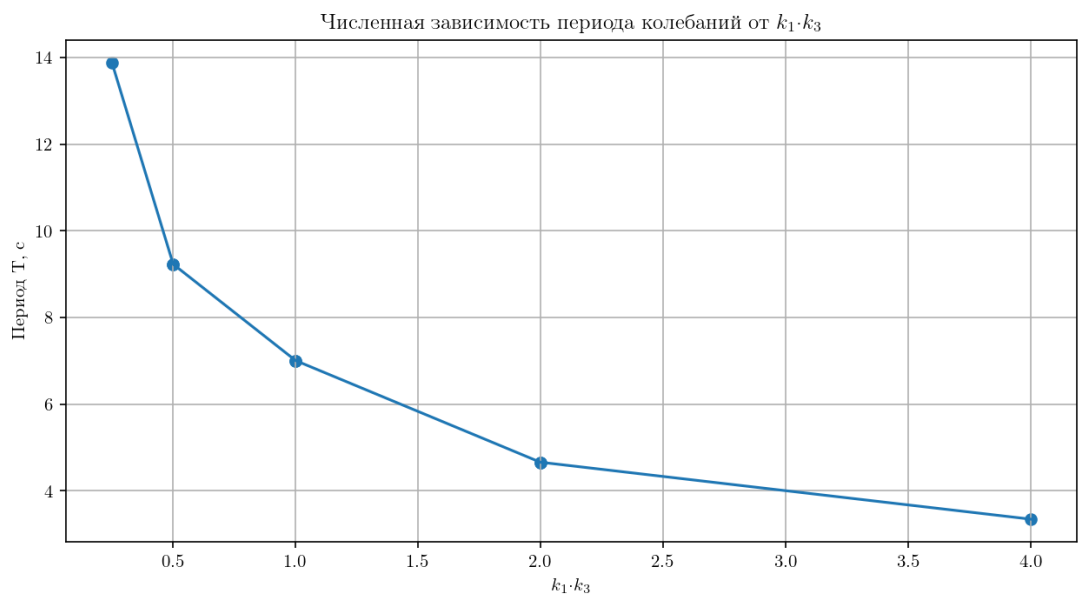


Рис. 6: Зависимость периода реакции от произведения  $k_1 \cdot k_3$

## 1.6 Анализ Брюсселятора

$$\begin{cases} \frac{dX}{dt} = A + X^2Y - (B + 1)X, \\ \frac{dY}{dt} = BX - X^2Y \end{cases}$$

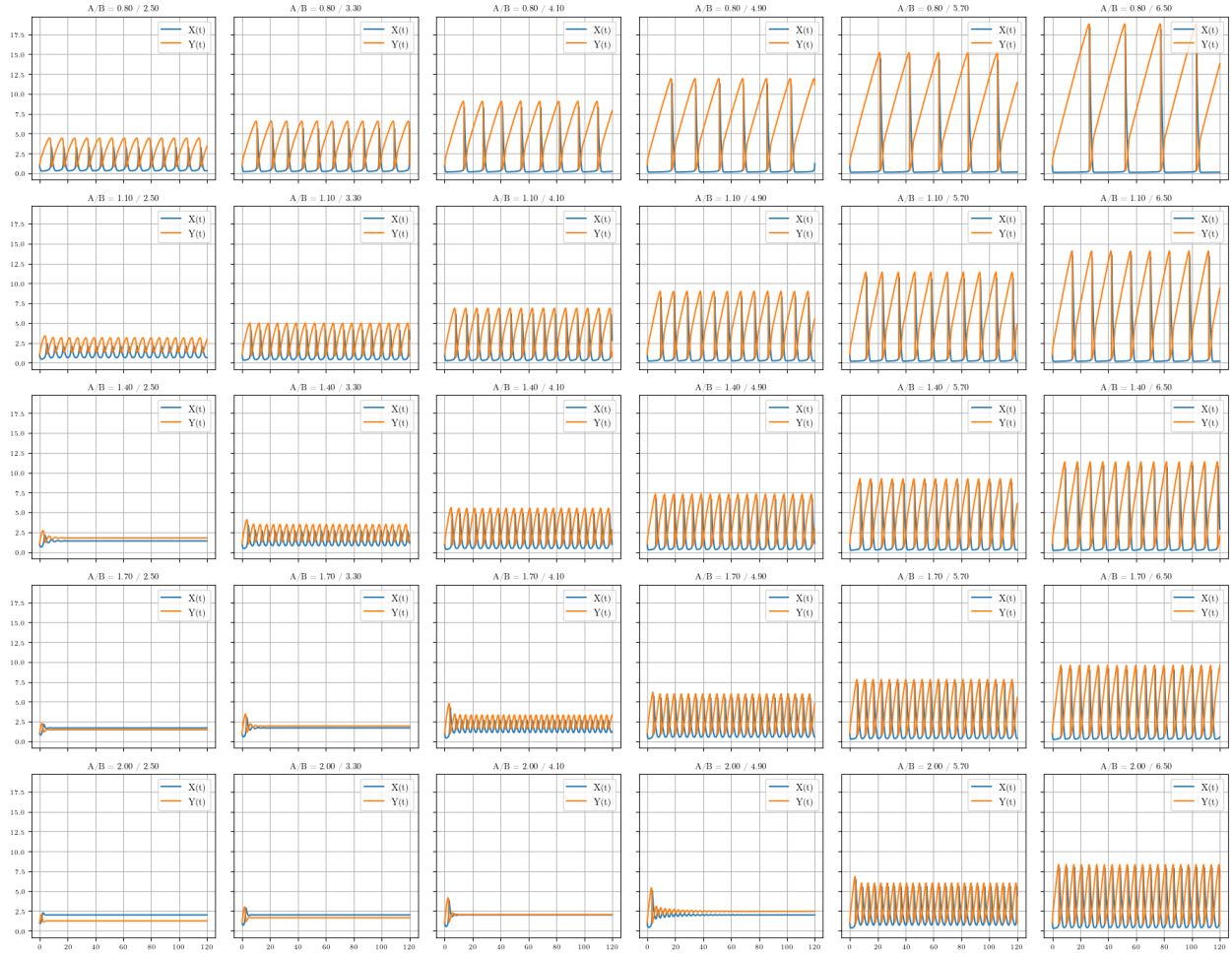


Рис. 7: Сетка  $X(t)$  и  $Y(t)$  в зависимости от соотношения  $A/B$

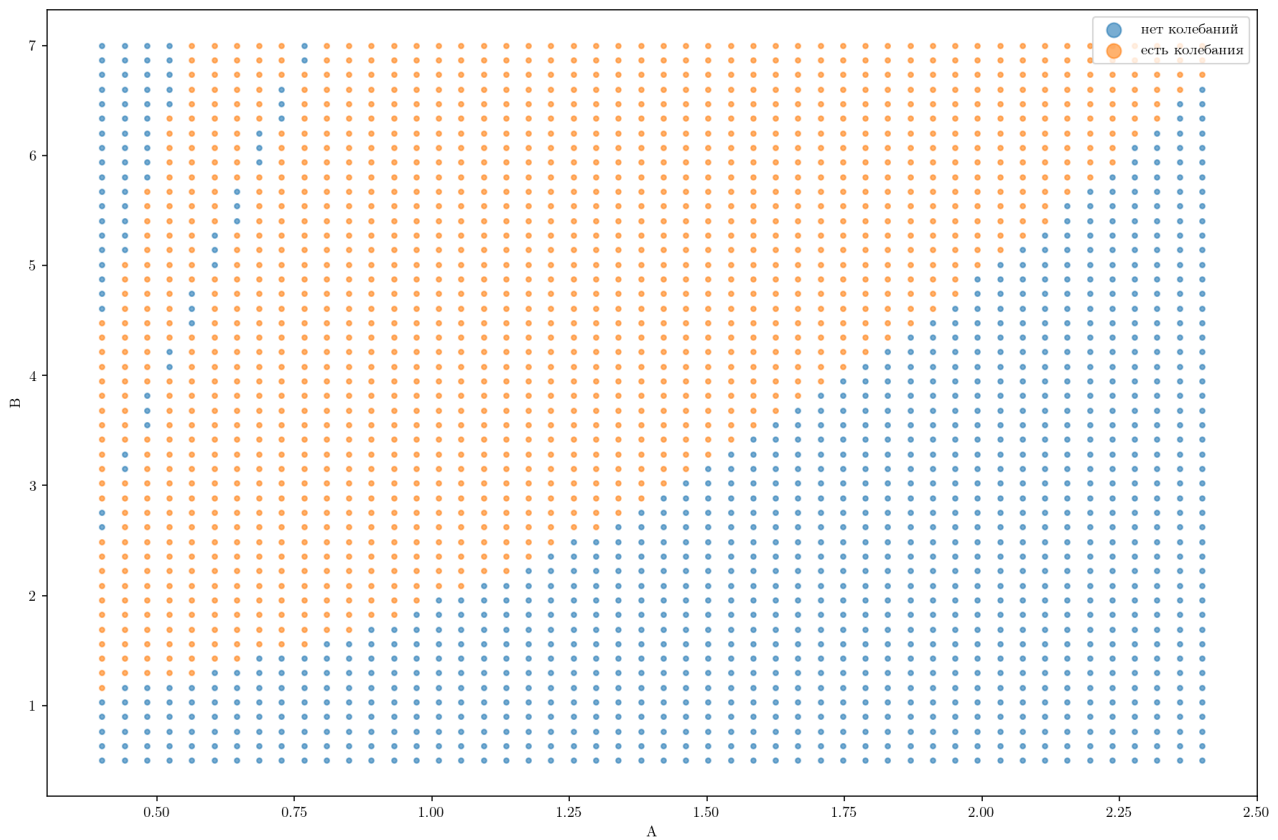


Рис. 8: Карта режимов Брюсселятора

## 1.7 Анализ Орегонатора



Рис. 9: Сетка  $X(t)$ ,  $Y(t)$ ,  $Z(t)$  в зависимости от соотношения  $f/k_5$

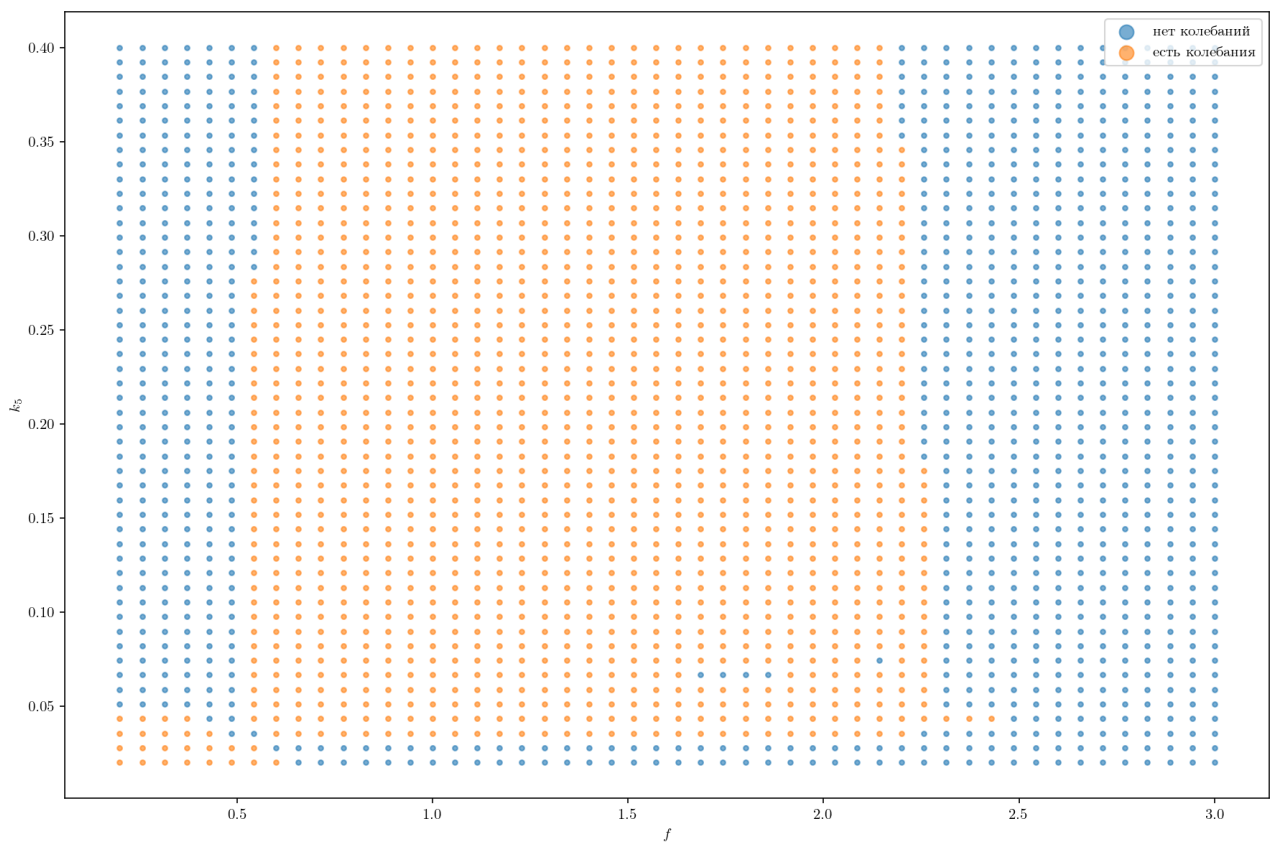


Рис. 10: Карта режимов орегонатора

## 1.8 Двойные колебания в модели для реакции Бриггса-Раушера

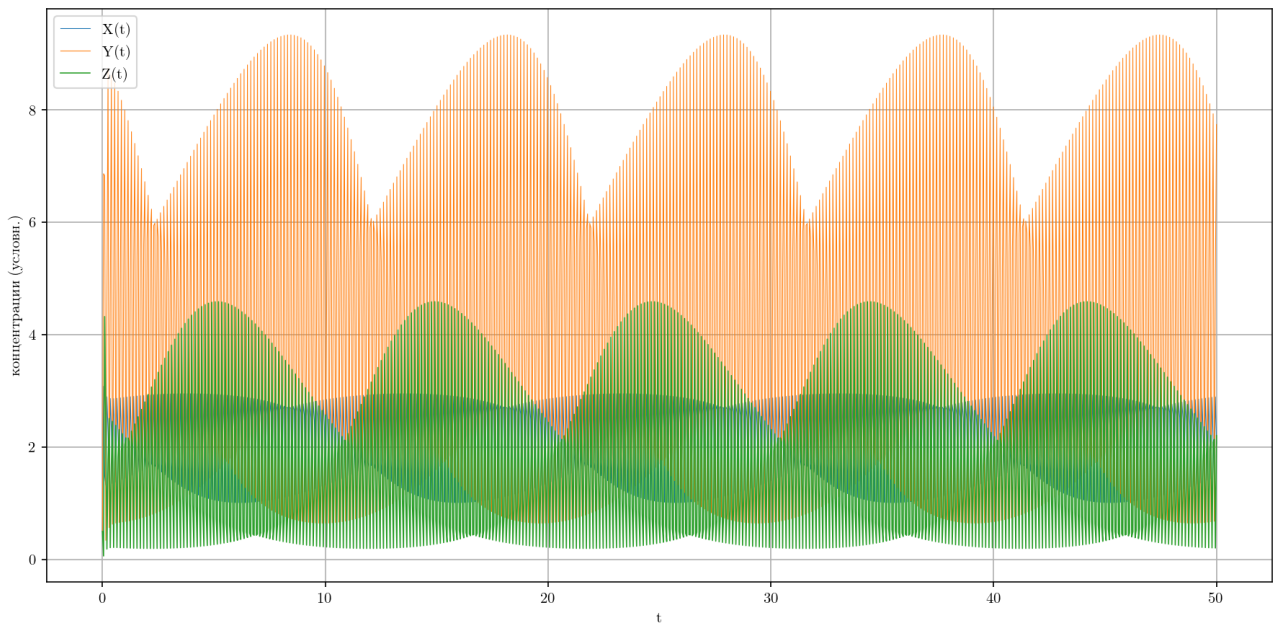


Рис. 11: Модель Бриггса-Раушера: пример режима с двойными колебаниями;  $k_1 = 20$ ,  $k_2 = 10$ ,  $k_3 = 20$ ,  $k_4 = 40$ ,  $C = 10$

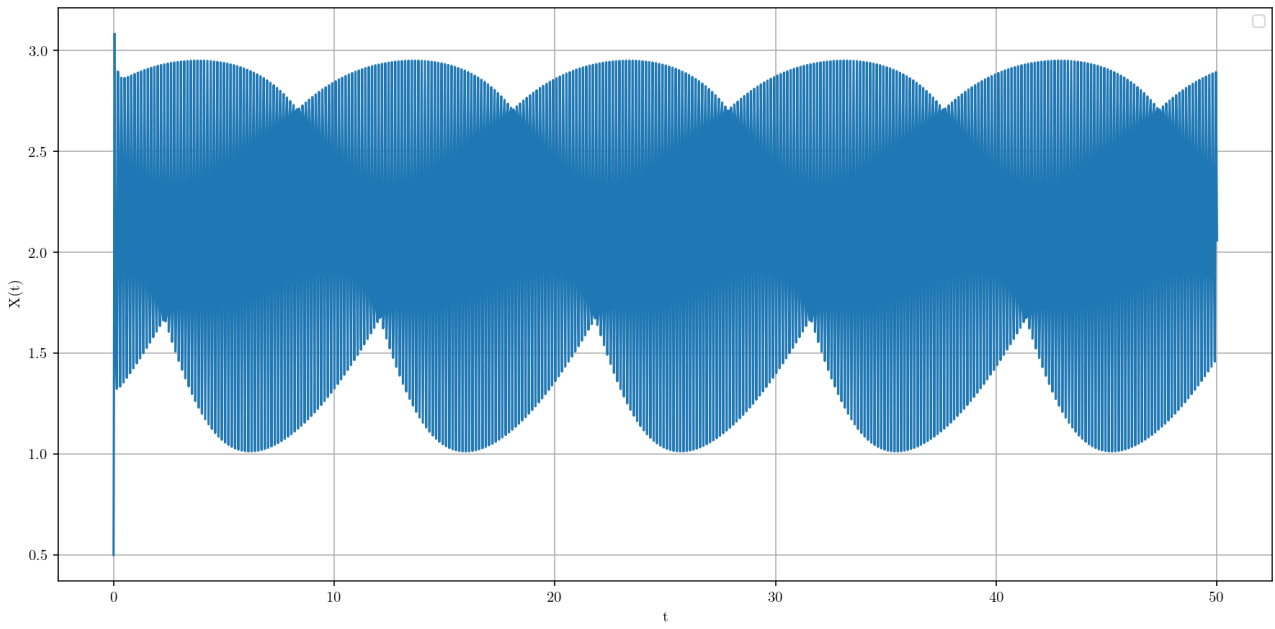


Рис. 12: Модель Бриггса-Раушера:  $X(t)$

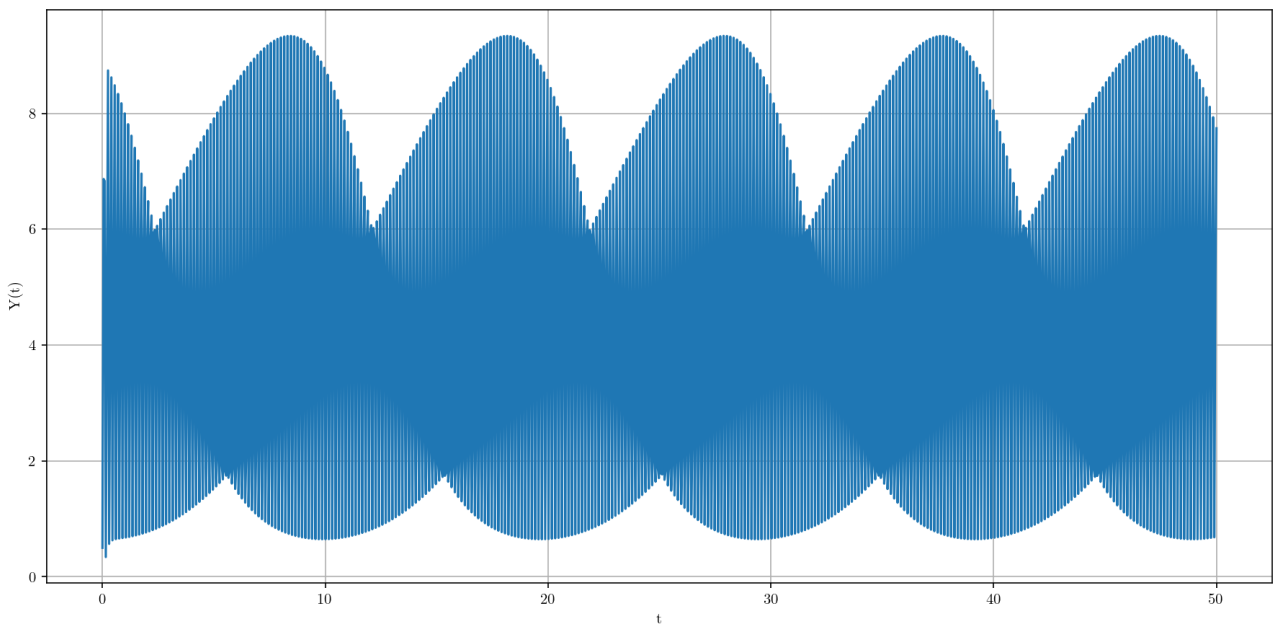


Рис. 13: Модель Бриггса-Раушера:  $Y(t)$

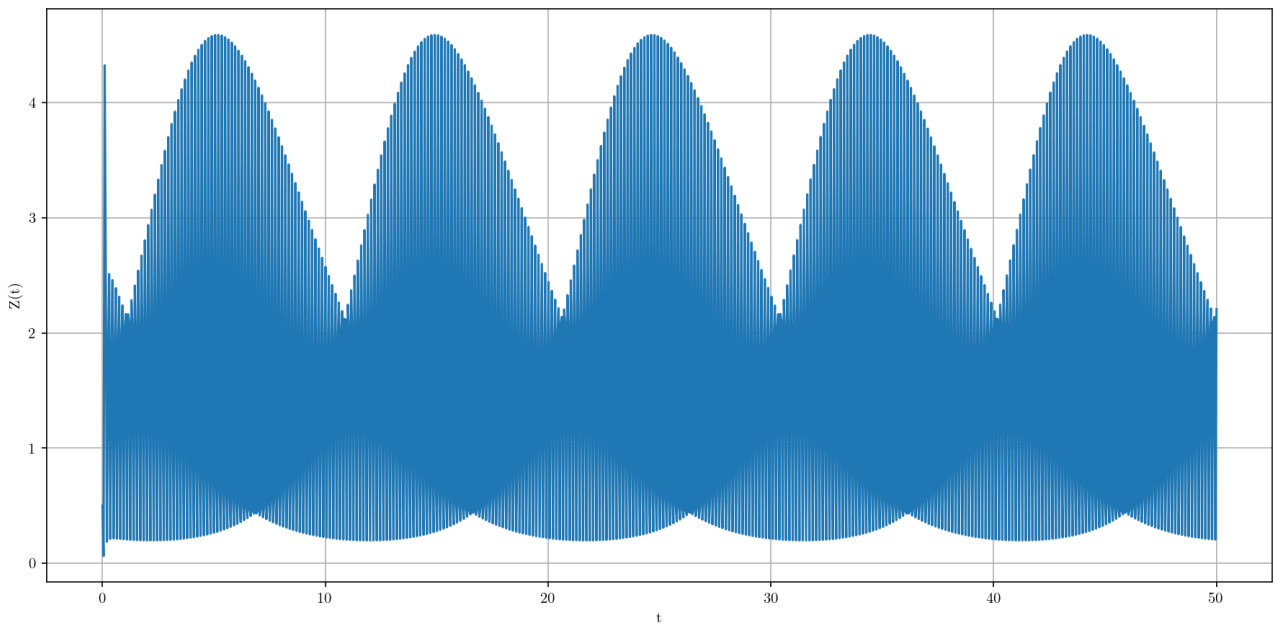


Рис. 14: Модель Бриггса-Раушера:  $Z(t)$